

© 2021 г. И.Б. ФУРТАТ, д-р техн. наук (cainenash@mail.ru)  
П.А. ГУЩИН, канд. техн. наук (guschin.p@mail.ru)  
(Институт проблем машиноведения РАН, Санкт-Петербург),

## УПРАВЛЕНИЕ ДИНАМИЧЕСКИМИ ОБЪЕКТАМИ С ГАРАНТИЕЙ НАХОЖДЕНИЯ РЕГУЛИРУЕМОГО СИГНАЛА В ЗАДАННОМ МНОЖЕСТВЕ<sup>1</sup>

Предложен метод управления динамическими системами, позволяющий гарантировать нахождение выходного сигнала объекта в заданном множестве в любой момент времени. Для решения задачи используется специальная замена координат, позволяющая свести исходную задачу с ограничениями к задаче исследования на устойчивость по вход-состоянию новой расширенной системы без ограничений. Приведены примеры замены координат и синтезированы алгоритмы управления линейными объектами и системами с секторной нелинейностью при наличии параметрической неопределенности и возмущений. Полученные результаты сопровождаются моделированием, иллюстрирующим эффективность предложенного метода и подтверждающим теоретические выводы.

*Ключевые слова:* динамическая система, замена координат, устойчивость, управление.

DOI: 10.31857/S000523102104005X

### 1. Введение

Задача управления объектами с обеспечением желаемого качества переходных процессов по регулируемой переменной является одной из основных задач теории автоматического управления. В условиях определенности параметров модели объекта существует ряд классических методов: методы управления с заданным расположением собственных чисел замкнутой системы, методы управления с обеспечением желаемых частотных характеристик замкнутой системы, методы оптимального управления и т.д., см., например, [1–4]. Вопрос улучшения оценки сверху для отклонения регулируемой переменной в линейных параметрически определенных системах с ненулевыми начальными условиями до сих пор остается актуальным [5–7].

Для управления в условиях параметрической неопределенности и возмущений можно выделить методы адаптивного и робастного управления, где качество регулирования задается эталонным сигналом, см., например, [8–10].

---

<sup>1</sup> Результаты разделов 3–5 получены при поддержке гранта Российского научного фонда (проект № 18-79-10104) в Институте проблем машиноведения РАН. Результаты раздела 6 получены при поддержке гранта Президента Российской Федерации (грант № МД-1054.2020.8) в Институте проблем машиноведения РАН.

Однако методы [8–10] не гарантируют заданного отклонения регулируемого сигнала от эталонного в переходном режиме. Если начальные условия объекта неизвестны, то в начальный момент времени данные отклонения могут быть произвольно большими. Методы [8–10] гарантируют только заданное отклонение регулируемой переменной от эталонного сигнала в установившемся режиме.

Метод [11] позволяет гарантировать нахождение фазовых траекторий системы в некотором наименьшем эллипсоиде в переходном и установившемся режимах. Однако данный эллипсоид остается одним и тем же в любой момент времени, что может давать грубое качество регулирования в переходном и в установившемся режимах.

В [12] рассмотрено применение адаптивного управления с обеспечением регулируемой переменной в заданных множествах, которые могут быть разными для переходного и установившегося режимов. Данные множества задаются последовательностью прямоугольников, где высота каждого прямоугольника соответствует желаемому максимальному отклонению выходной переменной объекта от положения равновесия, а длина прямоугольника — желаемому времени нахождения выходной переменной объекта в соответствующем прямоугольнике. Однако прямоугольные области в [12] достаточно грубые и алгоритм применим только для объектов со скалярными входными и выходными сигналами.

В отличие от [12] в [13] предложен метод управления с гарантией нахождения регулируемой переменной в заданном криволинейном множестве для объектов с векторными входными и выходными сигналами. Однако реализация данного метода требует знания знака и множества начальных условий объекта, а полученные верхние и нижние оценки переходных процессов достаточно грубые в том смысле, что определяются одной функцией с разными знаками. Причем верхние и нижние оценки должны асимптотически сходиться к некоторым константам. В настоящее время результат [13] имеет большое количество обобщений на разного рода системы, см. например, [14–16], но все вышеперечисленные особенности метода [13] остаются справедливыми и в [14–16].

Настоящая статья сфокусирована на получении нового метода управления с обеспечением регулируемой переменной в заданном множестве. В отличие от [13] целевое множество не будет зависеть от знака значений начальных условий, а требуется только знание множества начальных значений объекта управления. По сравнению с [12, 13] конфигурация заданного множества может задаваться произвольными ограниченными непрерывно-дифференцируемыми функциями, для которых не требуется асимптотическая сходимости. В результате полученный метод позволит существенно расширить класс решаемых задач в смысле качества переходных процессов в отличие от [12, 13].

Статья организована следующим образом. В разделе 2 приведен класс исследуемых объектов и поставлена цель управления в виде принадлежности выходного сигнала объекта заданному множеству. Раздел 3 содержит основной результат, где предложена специальная замена координат, которая позволяет свести исходную задачу с ограничениями к задаче исследования на

устойчивость по вход-состоянию новой расширенной динамической системы без ограничений. Также в разделе 3 приведены примеры такой замены координат. Возможность использования предложенного метода продемонстрирована в дальнейших разделах для некоторых видов систем. Так, в разделе 4 предложен алгоритм управления по состоянию линейными объектами с известными параметрами и неизвестным внешним ограниченным возмущением. Раздел 5 содержит синтез закона управления, который не зависит от параметров объекта, где сам объект описывается динамической системой с секторной нелинейностью и возмущениями. Раздел 6 иллюстрирует применимость предложенной схемы для объекта управления с произвольной относительной степенью. Разделы 4–6 сопровождаются моделированием, иллюстрирующим эффективность предложенного метода, и анализом полученных результатов.

## 2. Постановка задачи

Рассмотрим динамическую систему

$$(1) \quad \begin{aligned} \dot{x} &= F(x, u, t), \\ y &= h(x), \end{aligned}$$

где  $t \geq 0$ ,  $x \in \mathbb{R}^n$  — вектор состояния,  $u \in \mathbb{R}^m$  — сигнал управления,  $y = \text{col} \{y_1, \dots, y_v\}$  — выходной сигнал, вектор-функция  $F$  определена для всех  $x$ ,  $u$  и  $t$ , кусочно-непрерывна и ограничена по  $t$ ,  $h(x)$  — непрерывно-дифференцируемая функция по  $x$ . Объект управления (1) управляемый и наблюдаемый для любого  $x \in \mathbb{R}^n$ .

Требуется разработать закон управления, который обеспечит нахождение выходного сигнала объекта  $y(t)$  в следующем множестве

$$(2) \quad \mathcal{Y} = \left\{ y \in \mathbb{R}^v : \underline{g}_i(t) < y_i(t) < \bar{g}_i(t), i = 1, \dots, v \right\} \text{ для любых } t \geq 0,$$

где  $\underline{g}_i(t)$  и  $\bar{g}_i(t)$  — ограниченные функции вместе со своими первыми производными по времени. Данные функции выбираются разработчиком исходя из требований работы системы. Например, при управлении электрическим генератором [17] требуется поддержание частоты  $w(t)$  и выходного напряжения  $V(t)$  в заданных пределах:  $\underline{w} < w(t) < \bar{w}$  и  $\underline{V} < V(t) < \bar{V}$ .

## 3. Метод решения. Основной результат

Введем замену выходной переменной  $y$  в виде

$$(3) \quad y(t) = \Phi(\varepsilon(t), t),$$

где  $\varepsilon(t) \in \mathbb{R}^v$  — непрерывно-дифференцируемая вектор-функция по  $t$ , функция  $\Phi(\varepsilon, t) = \text{col} \{\Phi_1(\varepsilon, t), \dots, \Phi_v(\varepsilon, t)\}$  удовлетворяет следующим условиям:

$$(a) \quad \underline{g}_i(t) < \Phi_i(\varepsilon, t) < \bar{g}_i(t), i = 1, \dots, v \text{ для любых } t \geq 0 \text{ и } \varepsilon \in \mathbb{R}^v;$$

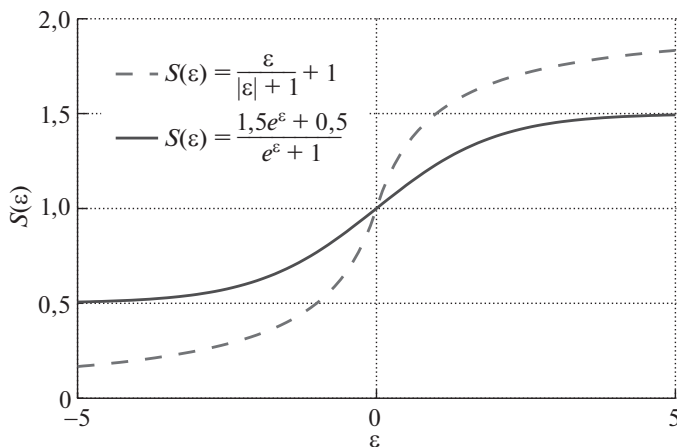


Рис. 1. Примеры функции  $S(\varepsilon) = \frac{\varepsilon}{1 + |\varepsilon|} + 1$  и  $S(\varepsilon) = \frac{1,5e^\varepsilon + 0,5}{e^\varepsilon + 1}$ .

- (б) существует обратное отображение  $\varepsilon = \Phi^{-1}(y, t)$  для любых  $y \in \mathcal{Y}$  и  $t \geq 0$ ;
- (в) функция  $\Phi(\varepsilon, t)$  непрерывно-дифференцируемая по  $\varepsilon$  и  $t$ , а также  $\det \left( \frac{\partial \Phi(\varepsilon, t)}{\partial \varepsilon} \right) \neq 0$  для любых  $y \in \mathcal{Y}$  и  $t \geq 0$ ;
- (г) функция  $\frac{\partial \Phi(\varepsilon, t)}{\partial t}$  ограничена по  $t \geq 0$  для любых  $\varepsilon \in \mathbb{R}^v$ .

Приведем четыре примера функции  $\Phi(\varepsilon, t)$ , где в примерах 1 и 2 верхняя и нижняя границы множества будут зависеть от одной функции  $g(t)$ , а в примерах 3 и 4 границы множества будут заданы независимыми функциями  $\underline{g}(t)$  и  $\bar{g}(t)$ .

*Пример 1.* Пусть  $\Phi(\varepsilon, t) = g(t)S(\varepsilon)$ , где в данном случае функция  $S(\varepsilon) \in \mathbb{R}$  определяет замену координат, а функция  $g(t) \in \mathbb{R}$  задает качество переходных процессов. Дополнительно,  $g(t) \neq 0$  и  $\dot{g}(t)$  — ограниченные функции,  $S(\varepsilon) = \frac{\varepsilon}{1+|\varepsilon|} + r$  (см. пример функции  $S(\varepsilon)$  на рис. 1 для  $r = 1$ ). Так как из (3)  $y(t) = g(t)S(\varepsilon)$ , то переменная  $y(t)$  содержится в множестве  $(r-1)g(t) < y(t) < (r+1)g(t)$  при  $g(t) > 0$  или в множестве  $(r+1)g(t) < y(t) < (r-1)g(t)$  при  $g(t) < 0$ . Обратное отображение имеет вид  $\varepsilon = \frac{y - rg}{g - (y - rg) \text{sign}(\varepsilon)}$ .

*Пример 2.* Зададим в примере 1 функцию  $S(\varepsilon)$  в виде  $S(\varepsilon) = \frac{\bar{r}e^\varepsilon + r}{e^\varepsilon + 1}$ , где  $0 < \underline{r} < \bar{r}$  (см. пример функции  $S(\varepsilon)$  на рис. 1 для  $\bar{r} = 1,5$  и  $\underline{r} = 0,5$ ). Тогда из (3) обратное преобразование выглядит как  $\varepsilon = \ln \frac{r g - y}{y - \bar{r} g}$ . Переменная  $y(t)$  находится в множестве  $\underline{r}g(t) < y(t) < \bar{r}g(t)$  при  $g(t) > 0$  или в множестве  $\bar{r}g(t) < y(t) < \underline{r}g(t)$  при  $g(t) < 0$ .

*Пример 3.* Выберем  $\Phi(\varepsilon, t) = \frac{\bar{g}(t)e^\varepsilon + g(t)}{e^\varepsilon + 1}$ , где  $\Phi(\varepsilon, t) \in \mathbb{R}$ ,  $\varepsilon \in \mathbb{R}$ , функции  $\bar{g}(t)$ ,  $\underline{g}(t)$ ,  $\dot{\bar{g}}(t)$  и  $\dot{\underline{g}}(t)$  ограниченные для любого  $t$  и  $\underline{g}(t) < \bar{g}(t)$ . С учетом (3) обратное преобразование  $\varepsilon = \ln \frac{g - y}{y - \bar{g}}$  будет выполнено при  $\underline{g}(t) < y(t) < \bar{g}(t)$  для любых  $t$ .

Пример 4. Зададим  $\Phi(\varepsilon, t)$  в виде

$$\Phi(\varepsilon, t) = \begin{cases} \bar{g}(t) + 0,5(\underline{g}(t) - \bar{g}(t))e^{-\varepsilon}, & \varepsilon \geq 0, \\ \underline{g}(t) + 0,5(\bar{g}(t) - \underline{g}(t))e^{\varepsilon}, & \varepsilon < 0, \end{cases}$$

где остальные функции, как и в примере 3. Принимая во внимание (3), обратное преобразование примет вид

$$\varepsilon = \begin{cases} \ln \frac{\bar{g} - g}{2(\bar{g} - y)}, & 0 \leq y < \bar{g}, \\ \ln \frac{2(y - \underline{g})}{\bar{g} - \underline{g}}, & \underline{g} < y < 0. \end{cases}$$

Значит,  $\underline{g}(t) < y(t) < \bar{g}(t)$  для любых  $t$ .

Теперь определим динамику по переменной  $\varepsilon$  для исследования устойчивости замкнутой системы. Для этого найдем полную производную по времени от (3) в виде  $\dot{y} = \frac{\partial \Phi(\varepsilon, t)}{\partial \varepsilon} \dot{\varepsilon} + \frac{\partial \Phi(\varepsilon, t)}{\partial t}$ . Так как  $\det \left( \frac{\partial \Phi(\varepsilon, t)}{\partial \varepsilon} \right) \neq 0$  (см. условие (в)), то перепишем последнее равенство как

$$(4) \quad \dot{\varepsilon} = \left( \frac{\partial \Phi(\varepsilon, t)}{\partial \varepsilon} \right)^{-1} \left( \dot{y} - \frac{\partial \Phi(\varepsilon, t)}{\partial t} \right).$$

Выражение (4) содержит сигнал управления  $u(t)$ , так как  $\dot{y} = \frac{\partial h(x)}{\partial x} F(x, u, t)$  из (1). Теперь сформулируем основной результат статьи.

*Теорема 1.* Пусть для преобразования (3) выполнены условия (а)–(г). Если существует такой закон управления  $u$ , что решения (4) ограничены, то  $y(t) \in \mathcal{Y}_\alpha \subset \mathcal{Y}$ . Если при выбранном законе управления решения (4) неограниченны, то  $y(t) \in \mathcal{Y}$ .

*Доказательство.* Пусть выбран закон управления так, что решения уравнения (4) ограничены, т.е.  $|\varepsilon(t)| < N$  при любом  $t$ , где  $0 < N < \infty$ . Тогда в силу преобразования (3) и условия (а) следует, что

$$y \in \mathcal{Y}_\alpha = \{y \in \mathbb{R}^v : \underline{M}_i(t) < y_i(t) < \overline{M}_i(t), i = 1, \dots, v\},$$

где  $\underline{M}_i(t) = \inf_{|\varepsilon| < N} \{\Phi_i(\varepsilon, t)\}$  и  $\overline{M}_i(t) = \sup_{|\varepsilon| < N} \{\Phi_i(\varepsilon, t)\}$  для любых  $t \geq 0$ . Посколь-

ку (3) является взаимно однозначным отображением, то  $\overline{M}_i(t) < \bar{g}_i(t)$  и  $\underline{M}_i(t) > \underline{g}_i(t)$ , значит,  $\mathcal{Y}_\alpha \subset \mathcal{Y}$ . Пусть теперь закон управления не обеспечивает ограниченность решения (4), т.е.  $\varepsilon(t) \in \mathbb{R}^v$ . Тогда в силу преобразования (3), а также условий (а) и (2) имеем, что  $y \in \mathcal{Y}$ , где  $\underline{g}_i(t) = \inf_{\varepsilon \in \mathbb{R}^v} \{\Phi_i(\varepsilon, t)\}$  и  $\bar{g}_i(t) = \sup_{\varepsilon \in \mathbb{R}^v} \{\Phi_i(\varepsilon, t)\}$ . Теорема 1 доказана.

Теорема 1 позволяет перейти от задачи управления (1) с ограничениями (2) к задаче управления (4) без ограничений. Следующие разделы демонстрируют возможность применения предложенного метода для некоторых типов задач.

#### 4. Управление линейным объектом с известными параметрами и измеряемым вектором состояния в условиях возмущений

Пусть объект управления описывается следующим линейным дифференциальным уравнением:

$$(5) \quad \begin{aligned} \dot{x} &= Ax + Bu + Df, \\ y &= Lx. \end{aligned}$$

Здесь  $x \in \mathbb{R}^n$ ,  $u \in \mathbb{R}$ ,  $y \in \mathbb{R}$ ,  $f \in \mathbb{R}^l$  — неизвестное ограниченное возмущение, матрицы  $A \in \mathbb{R}^{n \times n}$ ,  $B \in \mathbb{R}^n$  и  $L \in \mathbb{R}^{1 \times n}$  известны, а матрица  $D \in \mathbb{R}^{n \times l}$  неизвестна. Пара  $(A, B)$  управляема и пара  $(L, A)$  наблюдаема. Объект (5) имеет относительную степень, равную единице ( $LB \neq 0$  [10]).

Сформулируем результат, который содержит «простейший» закон управления в смысле «удобства» анализа замкнутой системы на устойчивость.

*Теорема 2.* Предположим, что для преобразования (3) выполнены условия (а)–(г),  $\frac{\partial \Phi(\varepsilon, t)}{\partial \varepsilon} > 0$  для любых  $\varepsilon$  и  $t$ , а также существует вектор  $T \in \mathbb{R}^n$  такой, что матрица  $A - B(LB)^{-1}LA - TL$  гурвицева. Тогда для любого  $K > 0$  закон управления

$$(6) \quad u = -(LB)^{-1}[LAx + K\varepsilon]$$

обеспечивает выполнение целевого условия (2).

*Замечание 1.* Отметим, что модель (5) с гурвицевой матрицей  $A - B(LB)^{-1}LA - TL$  может описывать ряд технических систем. Например, дистилляционная колонна [18], [4, с. 569], где сигнал управления — расход орошения, а регулируемый сигнал — состав легких фракций верха колонны; летательный аппарат [4, с. 565] на различных высотах и числах Маха, где  $u$  — управление рулями высоты,  $y$  — вертикальное ускорение; электрический двигатель постоянного тока [19], где сигнал управления — входное напряжение, выходной сигнал — угловая скорость, и т.д.

*Доказательство.* Принимая во внимание преобразование (3) и уравнение объекта (5), перепишем выражение (4) в виде

$$(7) \quad \dot{\varepsilon} = \left( \frac{\partial \Phi(\varepsilon, t)}{\partial \varepsilon} \right)^{-1} (LAx + LBu + \psi),$$

где  $\psi = LDf - \frac{\partial \Phi(\varepsilon, t)}{\partial t}$  — ограниченная функция по  $\varepsilon$  и  $t$ . Подставив закон управления (6) в первое уравнение (5) и уравнение (7), а также добавив в полученном выражении слагаемое  $T\Phi(\varepsilon, t) - TLx(t) = 0$  (которое справедливо в силу (3) и второго уравнения (5)), получим

$$(8) \quad \dot{x} = (A - B(LB)^{-1}LA - TL)x - KB(LB)^{-1}\varepsilon + Df + T\Phi(\varepsilon, t),$$

$$(9) \quad \dot{\varepsilon} = \left( \frac{\partial \Phi(\varepsilon, t)}{\partial \varepsilon} \right)^{-1} [-K\varepsilon + \psi].$$

Введение вектора  $T$  позволяет рассматривать неустойчивые объекты (5). Исследуем уравнение (9) на устойчивость по вход-состоянию. Для этого выберем функцию Ляпунова вида  $V = 0,5\varepsilon^2$ . Подставив (9) в условие

$$\dot{V} + 2\alpha V \left( \frac{\partial \Phi(\varepsilon, t)}{\partial \varepsilon} \right)^{-1} - \beta \psi^2 \left( \frac{\partial \Phi(\varepsilon, t)}{\partial \varepsilon} \right)^{-1} \leq 0, \quad \text{где } \alpha > 0 \text{ и } \beta > 0,$$

получим  $-(K - \alpha)\varepsilon^2 + \varepsilon\psi - \beta\psi^2 \leq 0$  или в виде  $[\varepsilon \ \psi] \begin{bmatrix} -K + \alpha & 0,5 \\ 0,5 & -\beta \end{bmatrix} \begin{bmatrix} \varepsilon \\ \psi \end{bmatrix} \leq 0$ .

Последнее неравенство будет выполнено, если матрица  $\begin{bmatrix} -K + \alpha & 0,5 \\ 0,5 & -\beta \end{bmatrix}$  будет отрицательно определенной, что равносильно выполнению условий  $K > \alpha$  и  $(K - \alpha)\beta > 0,25$ . Поскольку  $K$  заданное число, то для него всегда найдутся  $\alpha$  и  $\beta$  такие, что данные условия будут выполнены. Значит, сигнал  $\varepsilon(t)$  будет ограниченным. Если матрица  $A - B(LB)^{-1}LA - TL$  гурвицева, то в силу ограниченности функций  $\varepsilon(t)$ ,  $\Phi(\varepsilon, t)$  и  $f(t)$  сигнал  $x(t)$  будет ограниченным. Значит, закон управления  $u$ , определенный в (6), будет ограничен. Тогда из теоремы 1 следует, что целевое условие (2) будет выполнено. Теорема 2 доказана.

*Пример 5.* Продемонстрируем теперь качество переходных процессов на примере управления объектом, параметры которого заданы в виде

$$(10) \quad A = \begin{bmatrix} 0 & 1 \\ 1 & 2 \end{bmatrix}, \quad B = \begin{bmatrix} 0 \\ 1 \end{bmatrix}, \quad D = \begin{bmatrix} 1 \\ 1 \end{bmatrix}, \quad L = [1 \ 2], \quad x(0) = \begin{bmatrix} 2 \\ 1 \end{bmatrix},$$

$$f(t) = 0,1 + \sin(3t) + \text{sat} \left( \frac{d(t)}{0,3} \right),$$

где  $\text{sat}(\cdot)$  — функция насыщения, сигнал  $d(t)$  смоделирован в Matlab Simulink с помощью блока “Band-Limited White Noise” с мощностью шума 0,1 и временем выборки 0,1. Требуется обеспечить принадлежность выходного сигнала  $y(t)$  множеству  $\underline{r}g(t) < y(t) < \bar{r}g(t)$ , где  $\underline{r} = 0,8$  и  $\bar{r} = 1$ , а функция  $g(t)$  будет определена ниже.

Матрица  $A - B(LB)^{-1}LA - TL$  гурвицева, например, при любом  $T = [T_1 \ T_2]^T$ , где  $T_1 > 0$  и  $T_2 > 0$ . Зададим  $K = 1$  в (6). Определим функцию  $\Phi(\varepsilon, t)$ , как в примере 2, задав  $g(t)$  в виде

$$(11) \quad g(t) = (g_0 - g_\infty)e^{-kt} + g_\infty.$$

Здесь  $g_0 = y(0) + 0,01$ ,  $g_\infty = 0,1$  и  $k = 0,5$ . На рис. 2 приведены результаты переходных процессов по  $y(t)$ ,  $u(t)$  и  $f(t)$ . Колебания сигнала управления на рис. 2 вызваны наличием возмущения  $f$ . Причем, как видно из рис. 2 (справа), после 3 с с начала работы системы амплитуда колебаний сигнала управления соизмерима с величиной возмущения. На рис. 3 представлены результаты моделирования при отсутствии возмущения ( $f = 0$ ). Таким образом, для стабилизации объекта в заданном множестве не требуется большого значения управляющего сигнала.

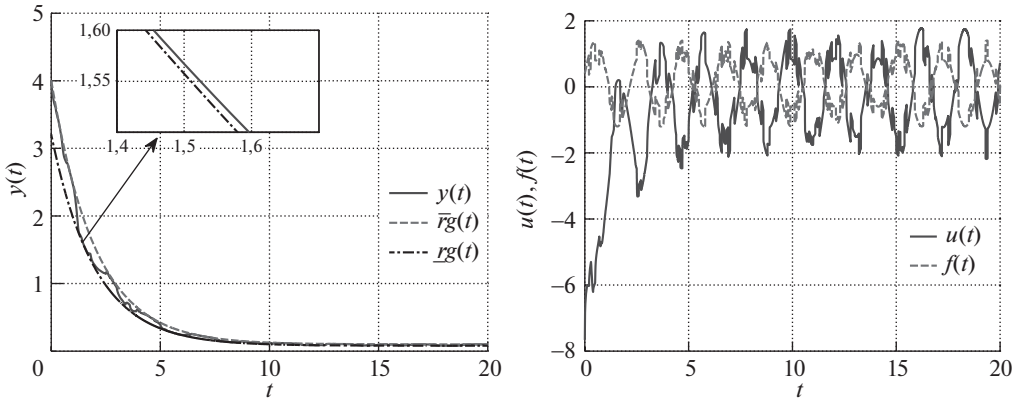


Рис. 2. Переходные процессы по  $y(t)$  (слева),  $u(t)$  и  $f(t)$  (справа) при  $g(t)$  вида (11).

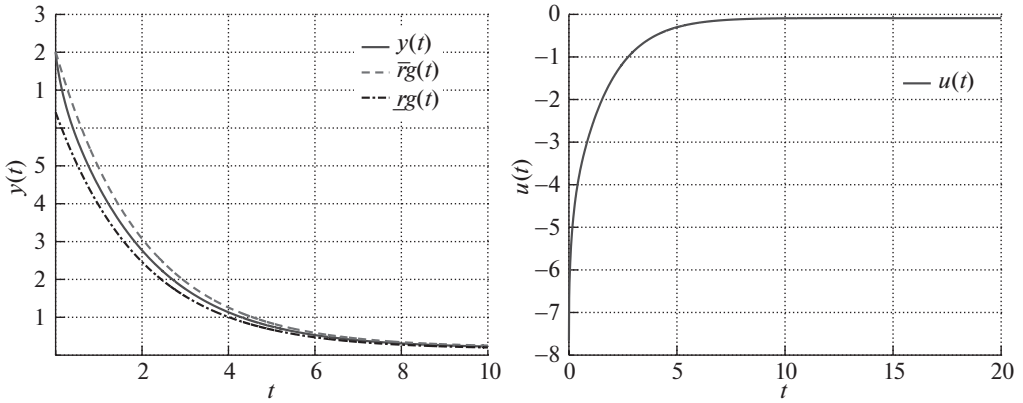


Рис. 3. Переходные процессы по  $y(t)$  (слева) и  $u(t)$  (справа) для  $g(t)$  вида (12) при отсутствии возмущения ( $f = 0$ ).

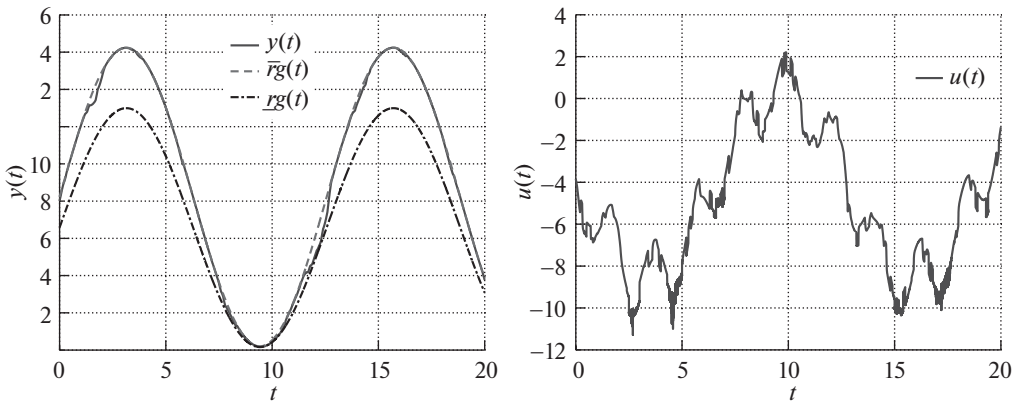


Рис. 4. Переходные процессы по  $y(t)$  (слева) и  $u(t)$  (справа) для  $g(t)$  вида (12).



Отметим, что на рис. 2 (и в последующих примерах) выходные сигналы не достигают границ желаемого множества, что согласуется с теоретическими выводами и что читатель может легко проверить путем моделирования. Для иллюстрации сказанного на рис. 2 приведен фрагмент рисунка в увеличенном масштабе.

В отличие от [13] и рис. 2, 3, где границы целевого множества сходятся к некоторым числам, теперь обеспечим принадлежность выходного сигнала  $y(t)$  ранее заданному множеству  $0,8g(t) < y(t) < g(t)$ , где функция  $g(t)$  не имеет предела:

$$(12) \quad g(t) = g_0 \sin(kt) + g_0 + g_\infty.$$

На рис. 4 приведены результаты моделирования по  $y(t)$  и  $u(t)$ .

Из рис. 2–4 видно, что при  $\underline{r} > 0$  и  $\bar{r} > 0$  значение  $y = 0$  недостижимо в силу преобразования координат из примера 2. Нулевое значение  $y$  может быть достигнуто только при  $\underline{r} < 0$  и  $\bar{r} > 0$  (с учетом  $g(t) > 0$ ). Однако в таком случае заданное множество будет более грубым по сравнению с множествами из рис. 2–4, поскольку нижняя граница желаемого множества будет находиться в отрицательной области значений  $y$ . Данная проблема будет преодолена в последующих примерах при использовании замены координат из примера 3.

## 5. Управление объектом по выходу с секторной нелинейностью в условиях возмущений

Рассмотрим объект управления вида

$$(13) \quad \begin{aligned} \dot{x} &= Ax + G\varphi(x) + Bu + Df, \\ y &= Lx. \end{aligned}$$

Здесь  $x \in \mathbb{R}^n$ ,  $u \in \mathbb{R}^m$ ,  $y \in \mathbb{R}^v$  ( $v \leq m$ ),  $f \in \mathbb{R}^l$  — неизвестная ограниченная функция,  $A \in \mathbb{R}^{n \times n}$ ,  $G \in \mathbb{R}^{n \times k}$ ,  $B \in \mathbb{R}^{n \times m}$ ,  $D \in \mathbb{R}^{n \times l}$  и  $L \in \mathbb{R}^{v \times n}$  — известные матрицы, неизвестная нелинейность  $\varphi(x) \in \mathbb{R}^k$  удовлетворяет условию  $|\varphi(x)| \leq C|x|$ ,  $C > 0$  — известная константа. Пара  $(A, B)$  управляема и пара  $(L, A)$  наблюдаема. Объект (13) имеет строгую относительную степень (от англ. «strict relative degree»), равную единице (т.е.  $L_i B_j \neq 0$ , где  $L_i$  —  $i$ -я строка матрицы  $L$  и  $B_j$  —  $j$ -я строка матрицы  $B$ ,  $i, j = 1, \dots, n$  [20, 21]). Требуется разработать алгоритм управления, обеспечивающий выполнение целевого условия (2).

Зададим закон управления в виде

$$(14) \quad u = K_1 y + K_2 \varepsilon,$$

где  $K_1 \in \mathbb{R}^{m \times v}$  и  $K_2 \in \mathbb{R}^{m \times v}$  выбираются разработчиком. В частности,  $K_1$  и  $K_2$  можно выбирать при условии, что матрицы  $A + BK_1 L$  и  $LBK_2$  гурвицевы. Принимая во внимание (3) и (14), а также добавив в полученном выражении слагаемые  $T_1 Lx - T_1 \Phi(\varepsilon, t) = 0$  и  $T_2 Lx - T_2 \Phi(\varepsilon, t) = 0$  (которые

справедливы в силу (3) и второго уравнения (13)), перепишем (4) и (13) в виде

$$(15) \quad \begin{aligned} \dot{x} &= (A + BK_1L + T_1L)x + BK_2\varepsilon + G\varphi(x) + Df - T_1\Phi(\varepsilon, t), \\ \dot{\varepsilon} &= \left( \frac{\partial\Phi(\varepsilon, t)}{\partial\varepsilon} \right)^{-1} \left[ LBK_2\varepsilon + (LA + LBK_1L + T_2L)x + \right. \\ &\quad \left. + LG\varphi(x) + LDf - \frac{\partial\Phi(\varepsilon, t)}{\partial t} - T_2\Phi(\varepsilon, t) \right]. \end{aligned}$$

Здесь  $T_1 \in \mathbb{R}^{n \times v}$ ,  $T_2 \in \mathbb{R}^{v \times v}$ ,  $I$  — единичная матрица. Введение матриц  $T_1$  и  $T_2$  позволяет исследовать неустойчивые объекты (13).

Из второго уравнения (15) следует, что условие  $v \leq m$  (т.е.  $\dim \varepsilon \leq \dim u$ ) и единичная строгая относительная степень (13) позволит закону управления (14) обеспечить ограниченность  $\varepsilon(t)$ . Введем новые обозначения

$$(16) \quad \begin{aligned} x_e &= \text{col} \{x, \varepsilon\}, \quad f_e = \text{col} \left\{ f, \frac{\partial\Phi(\varepsilon, t)}{\partial t}, \Phi(\varepsilon, t) \right\}, \\ A_e(\varepsilon, t) &= \begin{bmatrix} A + BK_1L + T_1L & BK_2 \\ \left( \frac{\partial\Phi(\varepsilon, t)}{\partial\varepsilon} \right)^{-1} (LA + LBK_1L + T_2L) & \left( \frac{\partial\Phi(\varepsilon, t)}{\partial\varepsilon} \right)^{-1} LBK_2 \end{bmatrix}, \\ G_e(\varepsilon, t) &= \begin{bmatrix} G \\ \left( \frac{\partial\Phi(\varepsilon, t)}{\partial\varepsilon} \right)^{-1} LG \end{bmatrix}, \\ D_e(\varepsilon, t) &= \begin{bmatrix} D & 0 & -T_1 \\ \left( \frac{\partial\Phi(\varepsilon, t)}{\partial\varepsilon} \right)^{-1} LD & - \left( \frac{\partial\Phi(\varepsilon, t)}{\partial\varepsilon} \right)^{-1} & - \left( \frac{\partial\Phi(\varepsilon, t)}{\partial\varepsilon} \right)^{-1} T_2 \end{bmatrix} \end{aligned}$$

и перепишем (15) в виде

$$(17) \quad \dot{x}_e = A_e(\varepsilon, t)x_e + G_e(\varepsilon, t)\varphi(x) + D_e(\varepsilon, t)f_e.$$

*Теорема 3.* Предположим, что для преобразования (3) выполнены условия (а)–(г),  $\frac{\partial\Phi(\varepsilon, t)}{\partial\varepsilon} > 0$  для любых  $\varepsilon$  и  $t$ . Пусть для заданных  $\alpha > 0$ ,  $K_1$ ,  $K_2$ ,  $T_1$  и  $T_2$  существует коэффициент  $\beta > 0$  и матрица  $P = P^T > 0$  такие, что выполнено матричное неравенство

$$(18) \quad \begin{bmatrix} A_e(\varepsilon, t)^T P + P A_e(\varepsilon, t) + \alpha P + C^2 E^T E & P G_e(\varepsilon, t) & P D_e(\varepsilon, t) \\ * & -1 & 0 \\ * & * & -\beta I \end{bmatrix} \leq 0.$$

Здесь “\*” определяет симметричный блок симметричной матрицы,  $E = [I \ 0]$ . Тогда закон управления (14) обеспечивает выполнение целевого условия (2).

*Доказательство.* Для анализа устойчивости (17) зададим функцию Ляпунова в виде  $V = x_e^T P x_e$ , где  $P = P^T > 0$ . С учетом (17), подставив выражение для  $\dot{V}$  в неравенство

$$(19) \quad \dot{V} + \alpha V - \beta f_e^T f_e \leq 0,$$

получим

$$(20) \quad x_e^T [A_e(\varepsilon, t)^T P + P A_e(\varepsilon, t) + \alpha P] x_e + 2x_e^T P G_e(\varepsilon, t) \varphi(x) + 2x_e^T P D_e(\varepsilon, t) f_e - \beta f_e^T f_e \leq 0.$$

Введем новый вектор  $z = \text{col} \{x_e, \varphi(x), f_e\}$  и перепишем неравенство (20) в виде

$$(21) \quad z^T \begin{bmatrix} A_e(\varepsilon, t)^T P + P A_e(\varepsilon, t) + \alpha P & P G_e(\varepsilon, t) & P D_e(\varepsilon, t) \\ * & 0 & 0 \\ * & * & -\beta I \end{bmatrix} z \leq 0.$$

По условию задачи  $\varphi^2(x) \leq C^2 x_e^T E^T E x_e$ . Перепишем данное условие в виде

$$(22) \quad z^T \begin{bmatrix} C^2 E^T E & 0 & 0 \\ * & -1 & 0 \\ * & * & 0 \end{bmatrix} z \geq 0.$$

Согласно S-процедуре неравенства (21) и (22) будут одновременно выполнены, если будет выполнено неравенство (18). Значит, из условия (19) функция  $x_e(t)$  ограничена, следовательно, сигналы  $x(t)$  и  $\varepsilon(t)$  ограничены. Тогда закон управления (14) будет ограниченным. В силу теоремы 1 цель управления (3) будет выполнена. Теорема 3 доказана.

*Пример 6.* Продемонстрируем качество управления на объекте с двумя входами и двумя выходами со следующими параметрами:

$$A = \begin{bmatrix} 0 & 1 & 0 \\ 0 & 0 & 1 \\ 0,1 & -2 & -3 \end{bmatrix}, \quad B = \begin{bmatrix} 1 & 2 \\ 1 & 1 \\ 1 & 2 \end{bmatrix}, \quad D = \begin{bmatrix} 1 \\ 1 \\ 1 \end{bmatrix},$$

$$L = \begin{bmatrix} 2 & 1 & 1 \\ 1 & 2 & 1 \end{bmatrix}, \quad G = \begin{bmatrix} 0 & 0 & 0 \\ 0 & 0 & 0 \\ 0,1 & 0,1 & 0,1 \end{bmatrix}, \quad \varphi(x) = \sin(x),$$

возмущение  $f(t)$  определено в (10).

Параметры регулятора (14) зададим в виде  $K_1 = 0,01 \begin{bmatrix} 0 & 0 \\ -1 & -1 \end{bmatrix}$ ,  $K_2 = \begin{bmatrix} 1,5 & -1,75 \\ -1 & 1 \end{bmatrix}$ . Дополнительно выберем  $T_1 = \begin{bmatrix} 1 & 2 & 1 \\ 1 & 2 & 1 \end{bmatrix}$  и  $T_2 = \begin{bmatrix} 1 & 2 \\ 1 & 2 \end{bmatrix}$ .

Пусть  $\Phi(\varepsilon, t) = \text{diag} \{ \Phi_1(\varepsilon_1, t), \Phi_2(\varepsilon_2, t) \}$ , где  $\Phi_i$  определены, как в примере 3, т.е.

$$\Phi_i(\varepsilon_i, t) = \frac{\bar{g}_i(t)e^{\varepsilon_i} + \underline{g}_i(t)}{e^{\varepsilon_i} + 1}, \quad i = 1, 2.$$

Значит,  $\Phi(\varepsilon, t) > 0$  для любых  $\varepsilon$  и  $t$ . Тогда

$$\frac{\partial \Phi_i(\varepsilon_i, t)}{\partial \varepsilon_i} = \frac{e^{\varepsilon_i}(\bar{g}_i(t) - \underline{g}_i(t))}{(e^{\varepsilon_i} + 1)^2} > 0,$$

так как  $\bar{g}_i(t) > \underline{g}_i(t)$ . Дополнительно,  $\left(\frac{\partial \Phi_i(\varepsilon_i, t)}{\partial \varepsilon_i}\right)^{-1} \rightarrow +\infty$  при  $\varepsilon \rightarrow +\infty$  и наименьшее значение  $\left(\frac{\partial \Phi_i(\varepsilon_i, t)}{\partial \varepsilon_i}\right)^{-1} \Big|_{\varepsilon=0} = \frac{4}{\bar{g}_i(t) - \underline{g}_i(t)} > 0$ . Согласно [22], если выполнено линейное матричное неравенство в вершинах политопа, то и внутри политопа линейное матричное неравенство будет выполнено. В рассматриваемом случае при каждом фиксированном  $\frac{\partial \Phi_i(\varepsilon_i, t)}{\partial \varepsilon_i}$  матричное неравенство (18) является линейным. Однако политоп не замкнутый, так как  $\left(\frac{\partial \Phi_i(\varepsilon_i, t)}{\partial \varepsilon_i}\right)^{-1} \rightarrow +\infty$  при  $\varepsilon \rightarrow +\infty$ . Численное моделирование при увеличении  $\left(\frac{\partial \Phi_i(\varepsilon_i, t)}{\partial \varepsilon_i}\right)^{-1}$  показало, что собственные числа матрицы  $P$  сходятся к некоторым положительным значениям. В вершинах  $\frac{4}{\bar{g}_i(t) - \underline{g}_i(t)}$  матричное неравенство (18) также выполнено.

Зададим параметры функции  $\Phi(\varepsilon, t)$  в виде

$$(23) \quad \begin{aligned} \bar{g}_1(t) &= (g_0 - g_1)e^{-kt} + g_1, & \bar{g}_2(t) &= (g_0 - g_2)\cos(kt) + g_4, \\ \underline{g}_1(t) &= (g_0 - g_2)e^{-kt} + g_3, & \underline{g}_2(t) &= \cos(kt) + g_5, \end{aligned}$$

где  $g_0 = \sqrt{y^T(0)y(0)} + 0,01$ ,  $g_1 = 0,1$ ,  $g_2 = 2$ ,  $g_3 = -0,2$ ,  $g_4 = g_0 - 0,1$ ,  $g_5 = 0,8$  и  $k = 0,5$ .

На рис. 5, 6 приведены результаты переходных процессов по  $y_1(t)$ ,  $y_2(t)$  и  $u(t) = \text{col} \{u_1(t), u_2(t)\}$  при  $x(0) = \text{col} \left\{ \frac{5}{3}, \frac{2}{3}, -1 \right\}$ .

Исследования робастности замкнутой системы с законом управления  $u = K_1 y + K_2 \varepsilon$  по отношению к параметрам объекта (5) путем моделирования показали, что замкнутая система сохраняет устойчивость и обеспечивает вы-

полнение цели управления при  $A = \begin{bmatrix} 0 & 1 & 0 \\ 0 & 0 & 1 \\ a_1 & a_2 & a_3 \end{bmatrix}$  и  $G = \begin{bmatrix} 0 & 0 & 0 \\ 0 & 0 & 0 \\ g_{\varphi 1} & g_{\varphi 2} & g_{\varphi 3} \end{bmatrix}$ , где  $a_1 \in [-5; 0,1]$ ,  $a_2 \in [-5; -2]$ ,  $a_3 \in [-5; -3]$ ,  $b \in [0,5; 10]$  и  $g_{\varphi 1} \in [-3; 3]$ ,  $g_{\varphi 2} \in [-3; 3]$  и  $g_{\varphi 3} \in [-3; 3]$ .

Исследование робастности по отношению к начальным значениям объекта показало следующее. Согласно условиям (3) и (а) начальные значения  $y_i(0)$  должны быть согласованы с неравенствами  $\underline{g}_i(0) < y_i(0) < \bar{g}_i(0)$ ,  $i = 1, 2$ . Однако начальные условия могут иметь существенную неопределенность, и если они оказались на границе заданной области или за ее пределами, то закон

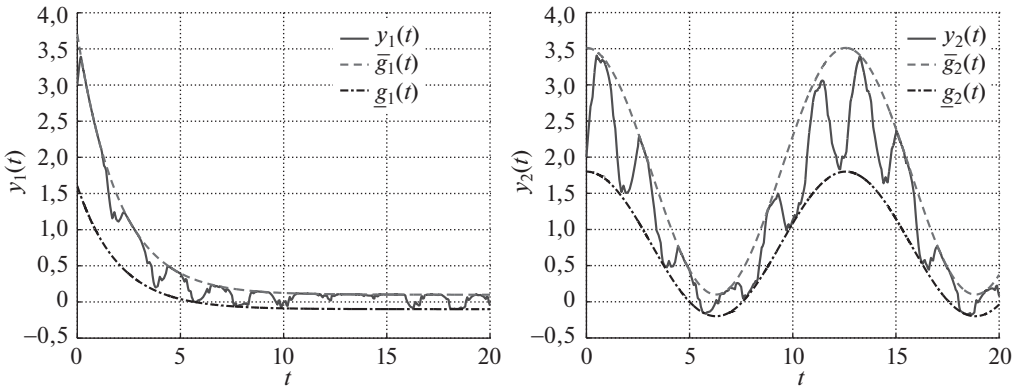


Рис. 5. Переходные процессы по  $y_1(t)$  и  $y_2(t)$  для функции  $\Phi(\varepsilon, t)$  с параметрами (23) при  $x(0) = \text{col}\{\frac{5}{3}, \frac{2}{3}, -1\}$ .

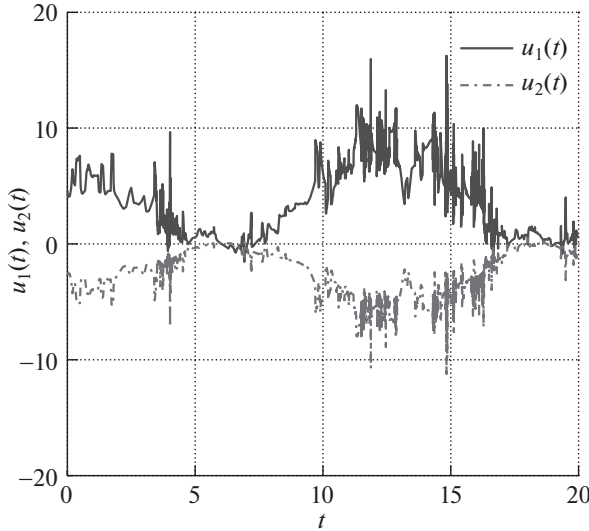


Рис. 6. Переходные процессы по  $u(t) = \text{col}\{u_1(t), u_2(t)\}$  для функции  $\Phi(\varepsilon, t)$  с параметрами (23) при  $x(0) = \text{col}\{\frac{5}{3}, \frac{2}{3}, -1\}$ .

управления будет неработоспособным в силу того, что обратная функция не существует при таких значениях (см. пример 3). Для решения данной проблемы  $\underline{g}_i(t)$  и  $\bar{g}_i(t)$  в (23) можно задавать с «запасом» в начальный момент времени, например в виде

$$(24) \quad \begin{aligned} \bar{g}_1(t) &= (g_0 - g_1)e^{-kt} + g_1 + g_6 e^{-k_0 t}, & \bar{g}_2(t) &= (g_0 - g_2) \cos(kt) + g_4 + g_6 e^{-k_0 t}, \\ \underline{g}_1(t) &= (g_0 - g_2)e^{-kt} + g_3 - g_6 e^{-k_0 t}, & \underline{g}_2(t) &= \cos(kt) + g_5 - g_6 e^{-k_0 t}, \end{aligned}$$

где  $g_6 > 0$  и  $k_0 > 0$ . Причем для покрытия большой области начальных значений с обеспечением нахождения выходных переменных объекта в множестве (23) необходимо  $g_6$  и  $k_0$  выбирать достаточно большими числами. Результаты моделирования по выходным сигналам  $y_1(t)$  и  $y_2(t)$  представлены

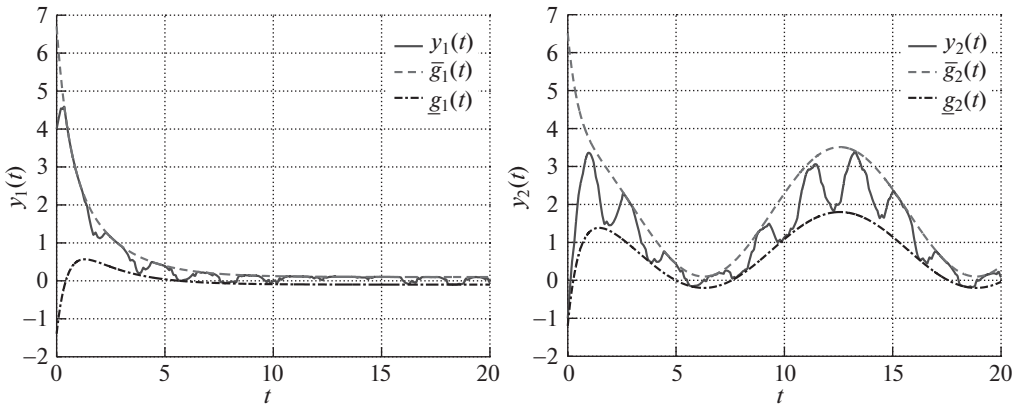


Рис. 7. Переходные процессы по  $y_1(t)$  и  $y_2(t)$  для функции  $\Phi(\varepsilon, t)$  с параметрами (24) при  $x(0) = \text{col}\{\frac{10}{3}, -\frac{5}{3}, -1\}$ .

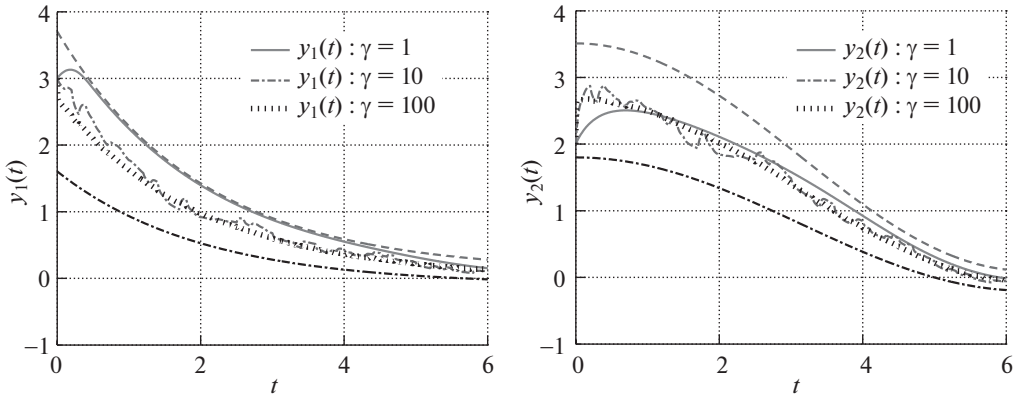


Рис. 8. Переходные процессы по  $y_1(t)$  и  $y_2(t)$  при  $\gamma = 1$ ,  $\gamma = 10$  и  $\gamma = 100$  при  $x(0) = \text{col}\{1 \ 1 \ 0\}$ .

на рис. 7 при  $g_6 = 3$  и  $k_0 = 2$  (значения  $g_6$  и  $k_0$  не выбраны достаточно большими числами для иллюстрации результата на рисунке) в (24), а также  $x(0) = \text{col}\{\frac{10}{3}, -\frac{5}{3}, -1\}$ .

Анализ результатов моделирования также показал, что если:

1) время переходного процесса по  $y(t)$  соизмеримо со временем переходного процесса по  $\varepsilon(t)$ ;

2) функция  $|f(t)|$  принимает большие значения,

то переходные процессы по  $y$  могут протекать почти на границах  $\bar{g}(t)$  и  $\underline{g}(t)$ . Из выражения  $\varepsilon = \ln \frac{g-y}{y-g}$  следует, что величина  $|\varepsilon(t)|$  может принимать большие значения, а значит, возрастет вычислительная нагрузка на систему управления. В результате увеличивается работа Matlab/Simulink, а иногда Matlab/Simulink выдает ошибку в вычислениях. Для предотвращения данной проблемы рекомендуется выбирать настраиваемые параметры так, чтобы переходные процессы по  $\varepsilon(t)$  протекали быстрее, чем по  $y(t)$ . Это также

позволит повысить робастность по отношению к параметрической неопределенности в объекте и влиянию возмущения  $f$ . Так, из рис. 8 видно, что при увеличении  $\gamma > 0$  в законе управления  $u = K_1 y + \gamma K_2 \varepsilon$  переходные процессы по  $y$  отдаляются от границ  $\underline{g}(t)$  и  $\bar{g}(t)$ .

## 6. Динамический регулятор для объектов со скалярным входным и выходным сигналами и произвольной относительной степенью

Результаты разделов 4 и 5 справедливы при относительной степени объекта, не превышающей единицы. Хорошо известно, что управление объектами со скалярными входными и выходными сигналами и с произвольной относительной степенью в условиях параметрической неопределенности является сложной задачей относительно обоснования работоспособности алгоритма, см., например, [23, 24]. Поскольку основная цель статьи — обеспечение целевого условия (2) с применением нового преобразования (3), то в настоящем разделе ради простоты выводов рассматривается объект со скалярными входным и выходным сигналами и с известными параметрами, но с произвольной относительной степенью. В численном примере будет продемонстрирована работоспособность алгоритма по отношению к параметрической неопределенности.

Пусть объект управления описывается уравнением

$$(25) \quad Q(p)y(t) = R(p)u(t) + f(t).$$

Здесь  $y \in \mathbb{R}$  — выходной сигнал,  $u \in \mathbb{R}$  — сигнал управления,  $f \in \mathbb{R}$  — ограниченное возмущение,  $Q(p)$  и  $R(p)$  — линейные дифференциальные операторы с известными коэффициентами,  $Q(\lambda)$  — гурвицевый полином,  $\lambda$  — комплексная переменная,  $p = \frac{d}{dt}$  — оператор дифференцирования. Требуется разработать алгоритм управления, обеспечивающий выполнение целевого условия (2).

Подставив  $y(t)$  из (25) в (4), получим

$$(26) \quad \dot{\varepsilon} = \left( \frac{\partial \Phi(\varepsilon, t)}{\partial \varepsilon} \right)^{-1} \left( \frac{pR(p)}{Q(p)} u(t) + \frac{pD(p)}{Q(p)} f(t) - \frac{\partial \Phi(\varepsilon, t)}{\partial t} \right).$$

Закон управления  $u = -\frac{Q(p)}{pR(p)} K \varepsilon$ , где  $K > 0$ , позволил бы свести уравнение (26) к виду  $\dot{\varepsilon} = \left( \frac{\partial \Phi(\varepsilon, t)}{\partial \varepsilon} \right)^{-1} \left( -K \varepsilon + \frac{pD(p)}{Q(p)} f(t) - \frac{\partial \Phi(\varepsilon, t)}{\partial t} \right)$ , решение которого было бы ограниченным при  $\frac{\partial \Phi(\varepsilon, t)}{\partial \varepsilon} > 0$ . Обозначим относительную степень объекта (25) через  $\rho = \deg Q(p) - \deg R(p)$ . Тогда приведенный закон управления не реализуем при  $\rho > 1$  из-за требований к наличию  $\rho - 1$  производных от сигнала  $\varepsilon(t)$ . Поэтому зададим закон управления в виде

$$(27) \quad u = -\frac{Q(p)}{R(p)[p(\mu p + 1)^{\rho-1} + a\mu]} K \varepsilon.$$

Здесь достаточно малое число  $\mu > 0$  и коэффициент  $a > 0$  выбираются из условия гурвицевости полинома  $\lambda(\mu\lambda + 1)^{\rho-1} + a\mu$ . Учитывая (27), перепи-

шем (25) и (26) как

$$(28) \quad y(t) = -K \frac{1}{p(\mu p + 1)^{\rho-1} + a\mu} \varepsilon(t) + \frac{D(p)}{Q(p)} f(t),$$

$$(29) \quad \dot{\varepsilon} = \left( \frac{\partial \Phi(\varepsilon, t)}{\partial \varepsilon} \right)^{-1} \left( -K\varepsilon - K \frac{p - p(\mu p + 1)^{\rho-1} - a\mu}{p(\mu p + 1)^{\rho-1} + a\mu} \varepsilon + \phi \right),$$

где  $\phi = \frac{pD(p)}{Q(p)} f(t) - \frac{\partial \Phi(\varepsilon, t)}{\partial t}$  — ограниченная функция.

**Теорема 4.** Пусть для преобразования (3) выполнены условия (а)–(г),  $\frac{\partial \Phi(\varepsilon, t)}{\partial \varepsilon} > 0$  для любых  $\varepsilon$  и  $t$ . Тогда существуют коэффициенты  $\mu_0$  и  $a$  такие, что при  $\mu < \mu_0$  полином  $\lambda(\mu\lambda + 1)^{\rho-1} + a\mu$  гурвицев и закон управления (27) обеспечивает выполнение целевого условия (2).

**Доказательство.** Рассмотрим уравнение (29), которое является регулярно возмущенным при малом параметре  $\mu$ . Перепишем (29) при  $\mu = 0$  в виде

$$(30) \quad \dot{\bar{\varepsilon}} = \left( \frac{\partial \Phi(\bar{\varepsilon}, t)}{\partial \bar{\varepsilon}} \right)^{-1} (-K\bar{\varepsilon} + \phi).$$

Для анализа устойчивости (30) зададим функцию Ляпунова как  $V = 0,5\bar{\varepsilon}^2$ . Проверим условие  $\dot{V} + 2\alpha V \left( \frac{\partial \Phi(\bar{\varepsilon}, t)}{\partial \bar{\varepsilon}} \right)^{-1} - \beta \left( \frac{\partial \Phi(\bar{\varepsilon}, t)}{\partial \bar{\varepsilon}} \right)^{-1} \phi^2 < 0$ , где  $\alpha > 0$  и  $\beta > 0$ . Подставив  $V$  и (30) в последнее неравенство, получим  $-(K - \alpha)\bar{\varepsilon}^2 + \bar{\varepsilon}\phi - \beta\phi^2 < 0$ . Данное неравенство будет выполнено при выполнении условия  $K > \alpha$  и  $(K - \alpha)\beta > 0,25$  (см. доказательство теоремы 2). Поскольку  $\alpha$  и  $\beta$  — произвольные числа, то всегда можно обеспечить выполнение данных условий при заданном  $K$ . Следовательно, решение уравнения (30) предельно ограниченное. Значит, согласно теореме 2.2 из [25] существует  $\mu_0$  такое, что при  $\mu < \mu_0$  выполнено условие  $|\bar{\varepsilon}(t) - \varepsilon(t)| < O(\mu)$ , где  $\lim_{\mu \rightarrow 0} O(\mu) = 0$ . В результате при  $\mu < \mu_0$  решение уравнения (29) также предельно ограниченное. Тогда в силу ограниченности  $f(t)$  и  $\varepsilon(t)$ , а также гурвицевости  $Q(\lambda)$  и  $\lambda(\mu\lambda + 1)^{\rho-1} + a\mu$  сигнал  $y(t)$  будет ограниченным из (28). Значит, закон управления  $u$  будет ограничен из (27). Тогда из теоремы 1 следует, что целевое условие (3) будет выполнено. Теорема 4 доказана.

**Пример 7.** Пусть параметры объекта управления (25) определены в виде  $Q(p) = (p + 1)^3$ ,  $R(p) = 1$  и возмущение  $f(t)$  задано в (10).

Параметры регулятора (14) зададим в виде  $K = 3$ ,  $\mu = 0,01$  и  $a = 0,1$ . Тогда закон управления (27) будет выглядеть как

$$(31) \quad u = -\frac{3(p + 1)^3}{p(0,01p + 1)^2 + 10^{-3}} \varepsilon.$$

Зададим функцию  $\Phi$ , как в примере 3, где  $\Phi(\varepsilon, t) = \frac{\bar{g}(t)e^\varepsilon + \underline{g}(t)}{e^\varepsilon + 1}$  и

$$\bar{g}(t) = \begin{cases} 2 \cos(t) + 0,2, & 0 \leq t \leq 2\pi, \\ 2,2, & t > 2\pi; \end{cases} \quad \underline{g}(t) = \begin{cases} 2 \cos(t) - 0,2, & 0 \leq t \leq 2\pi, \\ 1,8, & t > 2\pi. \end{cases}$$



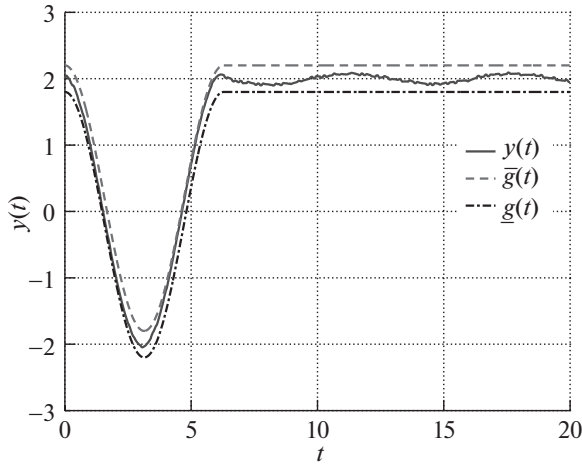


Рис. 9. Переходные процессы по  $y(t)$ .

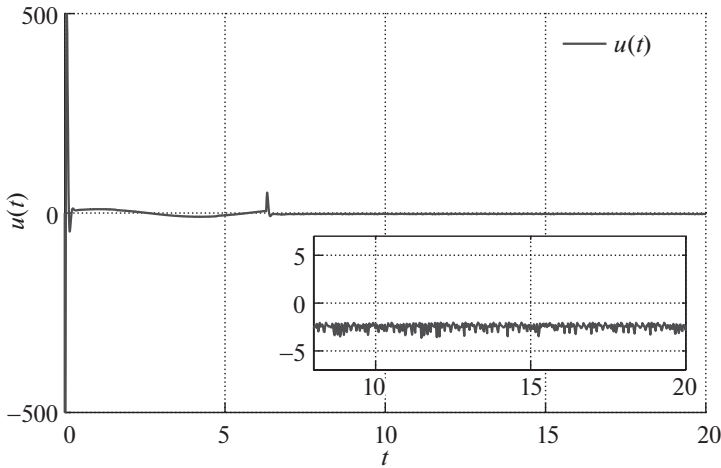


Рис. 10. График сигнала  $u(t)$ .

Результаты моделирования показали, что закон управления (31) обеспечивает цель управления (2). Моделирование также показало, что замкнутая система робастна по отношению к параметрическим неопределенностям. Так, на рис. 9, 10 приведены результаты переходных процессов по  $y(t)$  и  $u(t)$  при  $y(0) = 2$ ,  $py(0) = p^2y(0) = 1$ , неустойчивом полиноме  $Q(\lambda) = (\lambda - 1)^3$  и регуляторе (31). Начальные всплески сигнала управления обусловлены рассогласованием начальных условий в регуляторе и в объекте управления. Однако после отработки регулятором рассогласования начальных условий дальнейший график управления принимает «небольшие» значения, которые соответствуют выходному сигналу в заданном множестве.

## 7. Заключение

Разработан новый метод управления динамическими системами, позволяющий гарантировать нахождение выходной переменной объекта управле-

ния в заданном множестве. Для решения задачи предложена специальная замена координат, позволяющая свести исходную задачу с ограничениями к задаче исследования на устойчивость по вход-состоянию новой расширенной динамической системы без ограничений. Приведены примеры замены координат и алгоритмы управления линейными объектами и динамическими системами с секторной нелинейностью. Полученные результаты сопровождаются моделированием, иллюстрирующим эффективность предложенного метода и подтверждающими аналитические выводы.

Отметим, что основным результатом, сформулированный в теореме 1, справедлив для объектов с произвольной размерностью входных и выходных сигналов. Однако решение, полученное в разделе 5, не позволяет управлять объектами с размерностью выходного сигнала больше, чем размерность сигнала управления. Для управления такими объектами существует ряд решений, см., например, [26, 27] и список литературы в них. Применение методов [26, 27] и теоремы 1 может быть отдельным исследованием по управлению объектами с размерностью выходного сигнала больше, чем размерность сигнала управления.

#### СПИСОК ЛИТЕРАТУРЫ

1. *Первозванский А.А.* Курс теории автоматического управления. М.: Наука, 1986.
2. Теория автоматического управления: Учеб. для вузов по спец. "Автоматика и телемеханика". В 2-х ч. *Под ред. А.А. Воронова.* М.: Высш. шк., 1986.
3. *Поляк Б.Т., Хлебников М.В., Рапопорт Л.Б.* Математическая теория автоматического управления, учебное пособие. М.: Ленанд, 2019.
4. *Афанасьев В.Н., Колмановский В.Б., Носов В.Р.* Математическая теория конструирования систем управления. М.: Высш. шк., 2003.
5. *Баландин Д.В., Коган М.М.* Метод функций Ляпунова в синтезе законов управления при интегральном и фазовых ограничениях // Дифференц. уравнения. 2009. Т. 45. № 5. С. 655–664.
6. *Whidborne J.F., Amar N.* Computing the Maximum Transient Energy Growth // BIT Numerical Math. 2011. V. 51. No. 2. P. 447–557.
7. *Поляк Б.Т., Тремба А.А., Хлебников М.В., Щербаков П.С., Смирнов Г.В.* Большие отклонения в линейных системах при ненулевых начальных условиях // АиТ. 2015. № 6. С. 18–41.  
*Polyak B.T., Tremba A.A., Khlebnikov M.V., Shcherbakov P.S., Smirnov G.V.* Large Deviations in Linear Control Systems with Nonzero Initial Conditions // Autom. Remote Control. 2015. V. 76. No. 6. P. 957–976.
8. *Tao G.* Adaptive Control Design and Analysis. John Wiley & Sons, 2003.
9. *Андриевский Б.Р., Бобцов А.А., Фрадков А.Л.* Методы анализа и синтеза нелинейных систем управления. Ижевск: Ин-т компьютер. исслед., 2018.
10. *Мирошник И.В., Никифоров В.О., Фрадков А.Л.* Нелинейное и адаптивное управление сложными динамическими системами. СПб.: Наука, 2000.
11. *Поляк Б.Т., Хлебников М.В., Щербаков П.С.* Управление линейными системами при внешних возмущениях: Техника линейных матричных неравенств. М.: Ленанд, 2014.
12. *Miller D.E., Davison E.J.* An Adaptive Controller Which Provides an Arbitrarily Good Transient and Steady-State Response // IEEE Trans. Autom. Control. 1991. V. 36. No. 1. P. 68–81.

13. *Bechlioulis C.P., Rovithakis G.A.* Robust Adaptive Control of Feedback Linearizable MIMO Nonlinear Systems With Prescribed Performance // IEEE Trans. Autom. Control. 2008. V. 53. No. 9. P. 2090–2099.
14. *Bu X., He G., Wei D.* A new prescribed performance control approach for uncertain nonlinear dynamic systems via back-stepping // J. Franklin Institut. 2018. V. 355. No. 17. P. 8510–8536.
15. *Yin Z., Luo J., Wei C., Yin Z., Luo J., We C.* Robust Prescribed Performance Control for Euler-Lagrange Systems with Practically Finite-Time Stability // Eur. J. Control. 2020. V. 52. P. 1–10.
16. *Du P., Zhou Q., Liang H., Du P., Zhou Q., Liang H.* Neural adaptive prescribed performance control for interconnected nonlinear systems with output dead zone // Int. J. Robust and Nonlinear Control. 2019. <https://doi.org/10.1002/rnc.4802>
17. *Павлов Г.М., Меркурьев Г.В.* Автоматика энергосистем. СПб.: Издание Центра подготовки кадров РАО “ЕЭС России”, 2001.
18. *Буяхияуь К., Григорьев Л.И., Лаауад Ф., Хелласи А.* Оптимальное нечеткое управление для снижения энергопотребления в дистилляционных колоннах // АИТ. 2005. № 2. С. 36–45.  
*Bouyahiaoui C., Grigoriev L.I., Laaouad F., Khelassi A.* Optimal Fuzzy Control to Reduce Energy Consumption in Distillation Columns // Autom. Remote Control. 2005. V. 66. No. 2. P. 200–208.
19. *Ruderman M., Krettek J., Hoffmann F., Bertram T.* Optimal State Space Control of DC Motor // Proc. 17th World Congress The International Federation of Automatic Control, Seoul, Korea, 2008. P. 5796–5801.
20. *Isidori A.* Nonlinear Control Systems. Springer, 1995.
21. *Фомичев В.В., Ильин А.В., Коровин С.К.* Методы робастного обращения динамических систем. М.: Физматлит, 2009.
22. *Fridman E.* A refined input delay approach to sampled-data control // Automatica. 2010. V. 46. P. 421–427.
23. *Бобцов А.А.* Алгоритм робастного управления в задаче слежения за эталонным сигналом // АИТ. 2003. № 6. С. 104–113.  
*Bobtsov A.A.* A Robust Control Algorithm for Tracking the Reference Signal // Autom. Remote Control. 2003. V. 64. No. 6. P. 943–950.
24. *Цыкунов А.М.* Алгоритмы робастного управления с компенсацией ограниченных возмущений // АИТ. 2007. № 7. С. 103–115.  
*Tsykunov A.M.* Robust Control Algorithms with Compensation of Bounded Perturbations // Autom. Remote Control. 2007. V. 68. No. 7. P. 1213–1224.
25. *Васильева А.Б., Бутузов В.Ф.* Асимптотические разложения решений сингулярно возмущенных уравнений. М.: Наука, 1973.
26. *Liu X., Gu G., Zhou K.* Robust stabilization of MIMO nonlinear systems by back-stepping // Automatica. 1999. V. 35. P. 987–992.
27. *Estrada A., Fridman L., Iriarte R.* Combined backstepping and HOSM control design for a class of nonlinear MIMO systems // Int. J. Robust and Nonlinear Control. 2017. V. 27. No. 4. P. 566–581.

*Статья представлена к публикации членом редколлегии П.С. Щербаковым.*

Поступила в редакцию 23.03.2020

После доработки 17.06.2020

Принята к публикации 09.07.2020